

高效率横向电激励连续 CO₂ 激光器的研究

刘东华 韩晏生 李 锋 李再光

(武汉华中工学院激光研究所)

摘要: 报道一种工业用高气压封闭形横向电激励二千瓦级连续 CO₂ 激光器。

连续运行 13 小时, 输出功率高于 2.3 kW, 能量转换效率大于 17%。研究了放电特性、输出特性; 测量了在不同放电条件下的电子温度和电子浓度。

Study on efficient transverse electric excitation CW CO₂ laser

Liu Donghua, Han Yanseng, Li Feng, Li Zaiguang

(Laser Institute, Huazhong University of Science and Technology)

Abstract: A high pressure transverse electric excitation sealed-off 2 kW CW CO₂ laser with high efficiency for industrial use has been developed. Its output power is over 2.3 kW with an energy conversion efficiency of higher than 17% during the continuous operation of 13 hrs.

The discharge and output power characteristics have been investigated and the electron temperature and density have been measured under various discharge conditions.

一、总体结构

目前, 流动式电激励大功率连续 CO₂ 激光器的总体结构形式主要有两种:

一种是轴流式, 它是一种管式结构; 另一种是横流式, 它是一种箱式结构。后者气流方向与激光方向、放电方向相互垂直。这种方式散热效果最好, 有利于激光器朝大功率、高效率的方向发展^[1]。

本激光器采用了三轴正交式总体结构。它是由封闭箱体、谐振腔、压气机、热交换器、充、排气装置及高压电源等部分组成。

图 1 是激光器主体外貌。主体部分是一个由不锈钢制成的箱体, 其内部结构如图 2

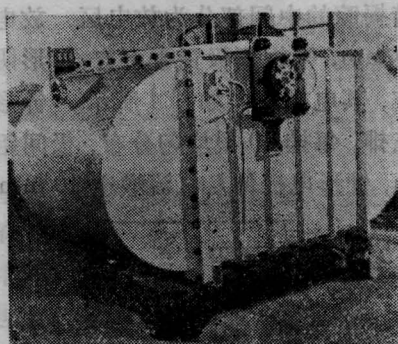


图 1 激光器主体外貌

所示。箱体内部装有谐振腔、压气机和热交换器等部件。

主体部分的密封性能良好, 真空度可抽到 10⁻² Torr 以上, 气体封存时间可超过 500

收稿日期: 1985 年 11 月 19 日。

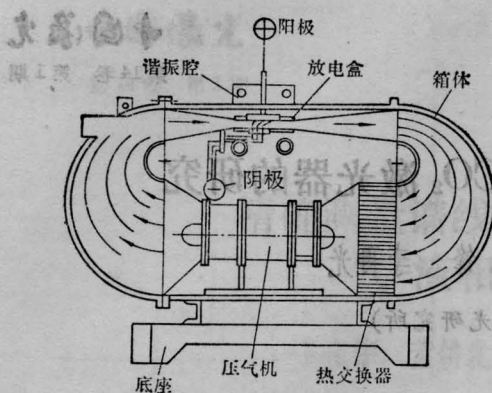


图2 激光器的主体结构示意图

小时，平均每天漏气量和内部材料放气量约为 0.27 Torr。

谐振腔装在横跨箱体的光桥上，两端分别安有全反射镜和输出镜，采用波纹管与箱体隔离，如图 3 所示。

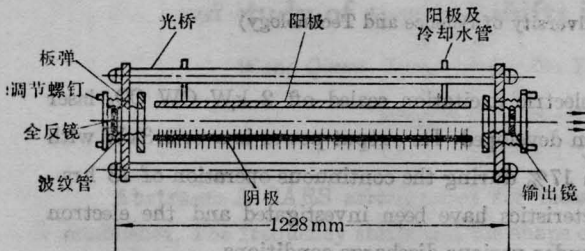


图3 谐振腔和放电区的结构示意图

谐振腔的中间部分为放电区，放电长度为 950 mm，平板阳极置于上方，针形阴极置于下方，其电极结构如图 4 所示。针形电极共分三排，每排 80 根均匀分布，极间距离为 35 mm，针形电极伸入气流喉道 10 mm。为

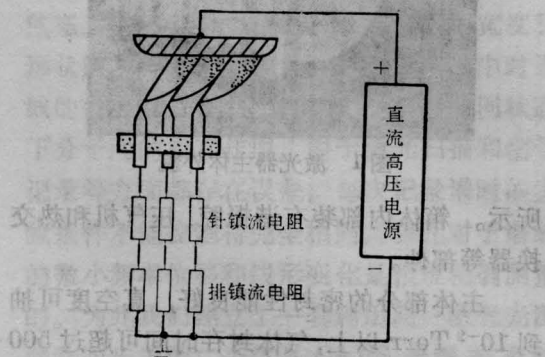


图4 电极结构示意图

提高放电的稳定性，在每根针电极的放电支路中，串联一个高值电阻，每排各针电阻的另一端并联后，再串接一个低值电阻，用以调节各排放电电流的大小。

二、放电特性和电子温度

采用钨、钼两种针形电极，在不同的放电条件下，分别进行了放电特性的研究。并且，利用自制的双探针自动测量装置，测量了激光器放电等离子体的电子温度^[2]。

当采用单排钨针电极对平板铜阳极放电时，在气体成分为 $1\text{CO}_2:7\text{N}_2:20\text{He}$ ，气温为 20°C ，流速为 50 m/s ，极间距离为 35 mm 的条件下，其极间电压、输入电功率随气压和放电电流的变化关系，如图 5 所示。在正常辉光放电区内，每根钨针电极的最大放电电流为 35 mA ，当气压为 100 Torr 时，单排钨针电极的最大输入功率为 9.24 kW 。

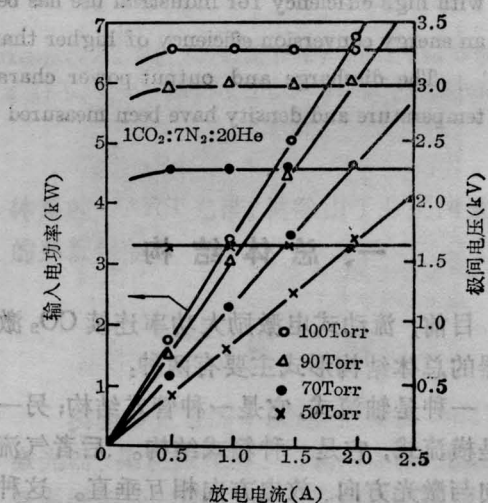


图5 单排钨针电极的放电特性

采用钼针电极对铜板阳极放电时，在相同的放电条件下，其极间电压要比钨针电极的极间电压低些，如图 6 所示。因而，在相同的放电条件下，采用钼针放电的 E/N 值较小，有利于改善放电稳定性和提高激光器的效率。

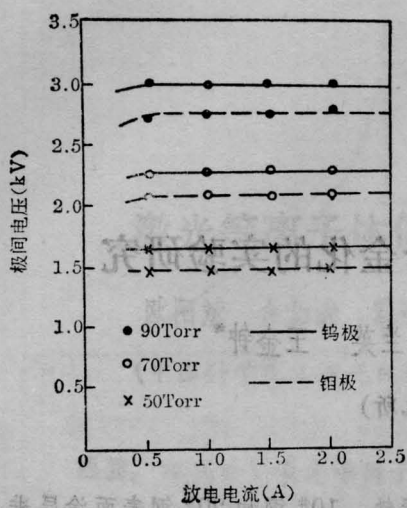


图 6 钨、钼针形电极放电特性的比较

在气体成分为 $1\text{CO}_2: 7\text{N}_2: 20\text{He}$ 和 $1\text{CO}_2: 9\text{N}_2: 20\text{He}$, 气压为 90 Torr, 流速为 50 m/s, 气温为 20°C 的条件下, 采用第一、二排各 40 根钼针电极并联放电时, 电子温度及浓度与电流的关系如图 7 所示。

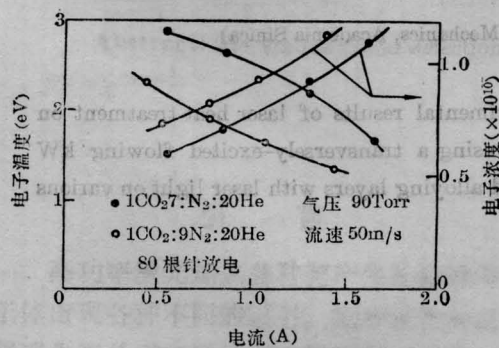


图 7 电子温度及浓度与电流的关系

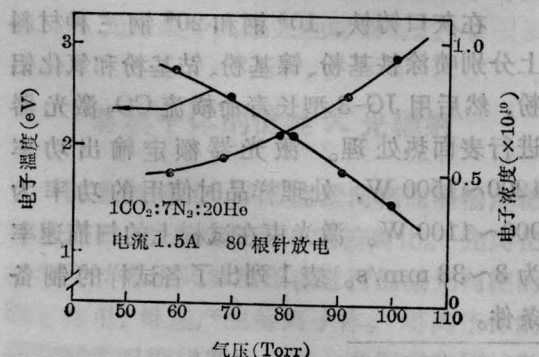


图 8 电子温度及浓度与气压的关系

由图可见, 随着放电电流的增大, 放电等离子体的电子温度下降, 电子浓度增加。

在上述放电条件下, 当气体成分 $1\text{CO}_2: 7\text{N}_2: 20\text{He}$, 且保持放电电流为 1.5 A 时, 电子温度及浓度与气压的关系如图 8 所示。随着气压升高, 电子温度下降, 电子浓度增加。

三、各排输入功率密度的分布

采用多排针形电极并联放电时, 由于前排电极放电对后排电极的放电起预电离的作用, 因而, 沿气流方向, 各排针电极的放电电压逐渐降低, 各排的输入功率密度和放电参数 E/N 值也不相同。合理地选择各排的输入功率密度, 调节各排放电的 E/N 值, 可以显著地提高激光器的效率和改善放电稳定性^[3, 4]。

在气体成分为 $1\text{CO}_2: 7\text{N}_2: 20\text{He}$, 气压为 90 Torr, 流速为 50 m/s, 气温为 20°C 的条件下, 三排钼针电极并联放电时, 其各排功率密度和 E/N 值的分布如图 9 所示。

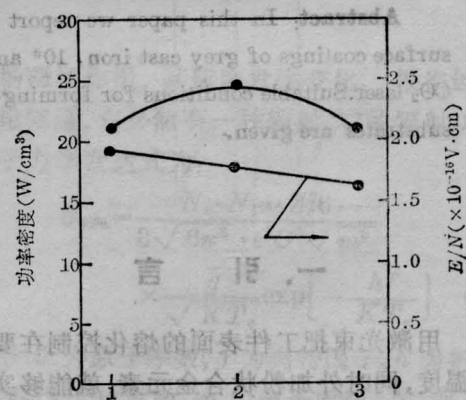


图 9 各排功率密度和 E/N 值的分布

第一排针电极放电主要起预电离作用, 为使该排放电均匀、稳定, 应使该排的输入功率密度最低为宜。第二排针电极为主放电区, 输入功率密度最高, 现已达到约 $25\text{W}/\text{cm}^3$, 第三排针电极的输入功率密度可适当减

(下转第 44 页)

表 3

腔型	输出能量(mJ)	发散角(mrad)	
平行平面	7.2	8	
平凸	6.4	单透镜补偿	望远镜离焦补偿
		3	2

这里可以看出，在同样条件下，平凸腔经补偿后光束发散角比平面腔大为改善。实验中所用的望远镜仅 2.7 倍。

按照上述器件参数计算可知：当望远镜目镜焦距 $f_o < 20 \text{ mm}$ 时，离焦量 $\Delta f < 1.7 \text{ mm}$ ，所以，当平凸腔用于由激光器和望远镜组成的发射系统时，就可以拿这个望远镜进行离焦补偿，不增加任何元件和系统尺寸，在调节上也没有困难。

三、研制结果

(上接第 51 页)

小，各排的放电参数 E/N 值从 $1.92 \times 10^{-16} \text{ V} \cdot \text{cm}^2$ 下降到 $1.64 \times 10^{-16} \text{ V} \cdot \text{cm}^2$ 。

四、输出特性

激光器的输出特性如图 10 所示。在气

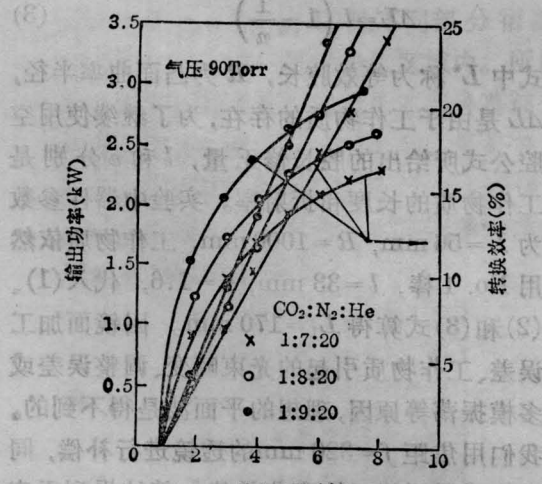


图 10 输出特性

在上述实验的基础上，我们研制成功一种小型 NdPP 脉冲激光器，室温下自然冷却每分钟可以发射 10 次，输入能量 5.9~8.6 J，输出单峰脉冲，单脉冲能量 17 mJ，脉冲宽度（半功率点）4 ns，峰值功率大于 4 MW，用套孔法测量发散角：4.2 mrad 通过总能量的 90%，2.5 mrad 通过总能量的 68%，器件外形尺寸 $15 \times 22 \times 68 (\text{mm})^3$ ，重量 35 g（不包括电源）。

参考文献

- [1] 廉汝林等，《激光与红外》，1980, No. 12, 28.
- [2] S. R. Chinn et al.; *Appl. Phys. Lett.*, 1977, 31, No. 3, 178~180.
- [3] 赫光生, 雷仕湛;《激光器设计基础》, 上海科学技术出版社, 1979, 40~45.

压为 90 Torr，流速为 50 m/s，气温为 20°C 的情况下，改变混合气体中 CO₂、N₂ 和 He 的比例，得到了三组输出特性的曲线。

适当地增加混合气体中的含 N₂ 量，可以显著地提高激光器的输出功率和效率。本激光器工作气体的最佳混合比为 10CO₂:9N₂:20He。采用这种气体的比例，在 90 Torr 的气压下，流速为 50 m/s，放电区上游气温为 20°C 时，激光器的输出功率可达 2900 W，电光转换效率可达 20%。连续运转时间为 4 小时。

参考文献

- [1] 永井治彦; 大出力炭酸ガスレーザー, 《三菱电机技报》，1981, 55, No. 10, 55~59.
- [2] 李同宁; 华中工学院研究生论文, 1984, 10.
- [3] R. B. Lancashire et al.; *Opt. Engineering*, 1977, 16, No. 5, 505~512.
- [4] R. H. Bullis et al.; *AIAA J.*, April, 1972, 407~414.